

### III-17 荷重増加による地盤内応力の変化について

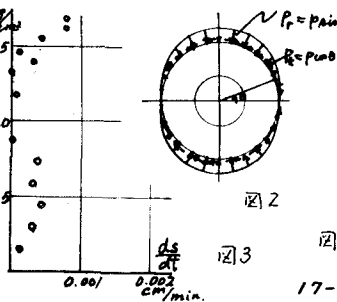
京都大学工学部 正員 松尾 稔  
運輸省 正員 ○染谷 昭夫

地盤に増加する荷重を与えると、一般に地盤は弾性に近い状態から次第に弾塑性的な状態に移行していくものと考えられる。このとき弾塑性状態の進行とともに、地盤内の応力状態は何らかの変化をうけることが予想される。筆者らはこれを実験的に調べることにより、地盤内の応力分布や地盤支持力に関する弾塑性論的な課題に何らかの寄与をなすことを考えた。

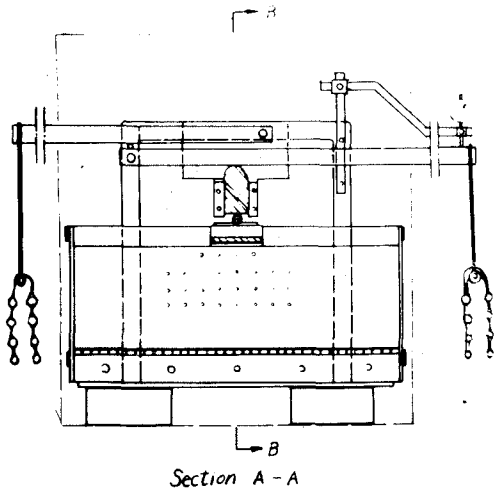
実験装置は図1に示すように砂槽、二軸型光弾性ヒズミ計および載荷装置からなる。砂槽は長さ40cm高さ15cm、幅7cmの頗るな亜鉛引鋼槽である。土試料としては豊浦標準砂を使用し、ヒズミ計を一定の位置に埋設しながら試料を充填した後間隔比が0.80になるよう水締めしてこれを供試体とした。つぎにこの供試体を高温炉に設置し、18時間放置して砂槽内が炉の温度130℃に達した後炉外のアームを用いて砂層表面中央部に配置した幅6cmの載荷板に載荷した。その後炉温度を130℃に3時間保ち応力凍結を行なった。載荷板は下から順にシリコンゴム板、光弾性板および剛性板を重ねたものである。シリコンゴム板は高溫時にもその弾性を失わないから近似的に等分布の接地圧を生ぜしめるのに有效であり、光弾性板は接地圧分布の検定に役立つ。

二軸型光弾性ヒズミ計は外径55mm、内径22mm、厚さ6.0mmの円筒形の小片である。このヒズミ計を砂中に埋設し、与えられた荷重により砂層内に生ずる応力を凍結法によってヒズミ計内に凍結し、その後凍結応力を解析することにより砂中の応力状態を求めた。二軸型光弾性ヒズミ形によれば、これにかかる応力の主応力方向はヒズミ計内の構造様の対称軸をもって表わされ、主応力の比および大きさの適当な計算により求めることができ。筆者らは、実験で得られた構造様から、図2のようないくつかの外周応力の仮定にもとづく理論的構造様によく類似することから、この理論的構造様を用いて各々の主応力比および大きさを解析した。なお荷重は漸増荷重に対して連続的に応力を計るものとするが、あるが、応力凍結法を用いた關係上、実験毎に新しい供試体（初期密度、初期間隔比、荷重）にて曲線から検討して個々の実験を通じて同一としてよいと判断した）に荷重制御方式で載荷し、ヒズミ計に凍結される応力が異なるよう最終荷重強度を変化させた。

図3は各荷重段階における荷重～載荷板の沈下量関係にもとづき、載荷後2~3分間の傾斜を横軸に、そのときの荷重強度を縦軸にとて描いたものである。各点はかなりばらついではいるが、



17-1



Section A-A

$\gamma=1$  節前後のところで沈下速度が急に増大し、平均的な見地からみて、地盤内の応力または変形状態にある特徴ある変化が生じていることを示唆している。

図4は荷重強度 $\gamma$ と地盤内各点の最大主応力方向が鉛直となくす角 $\theta$ との関係を表す図で、例として図5左上に示す3点について描いてある。同時に参考のために砂層を完全弾性体とした場合のその時の大きさを併記してある。この図によると、荷重直下の点①においては弾性論あるいはPrandtl-Terzaghi系の理論から予想されるように $\theta$ に關係なく $\theta$ はほぼゼロであるのに対し、点⑥、⑩においては弾性論による方向とは異なり、 $\gamma=1$  節前後でかなりの変動をみせ、粒子相互間の応力状態が変化して局部的なすべりが生じていることが想像される。

つぎに図5、図6はこれらの点の最大および最小主応力を $\gamma$ に対してプロットしたものである。等分布帶状荷重に対する弾性解によると⑤、⑥は $\gamma$ に比例して増加する。これらの図においても全般的に $\gamma$ に対して増加の傾向を示しているが、やはり $\gamma=1$  節付近でかなり不規則な変動をみせている。これらの関係を見易くするために、例えば点⑥について、各荷重強度に対してMohrの円を描き、これに原点からの接線を引くと図7のようになる。この図をみれば明らかのように、 $\gamma$ が小さい間はこの傾斜角が $20\sim30$ 度であるのが、 $\gamma$ が $1$  節程度になると $35\sim40$ 度を示し、粒子間の摩擦角がほぼ完全にmobilizeされていることが予想される。図8は以上の図をもとにして傾斜角 $\alpha$ を $\gamma$ に対して描いたもので、図7において説明したと同様の内容を示している。この図で点⑩における最大の点が点⑥に比較してやや左に、また点①におけるそれがやや右にずれ、しかもその大きさが点⑩は⑥にほぼ等しく、点①では、主応力および主応力差がかなり大きいにもかかわらず、点⑥に比較して小さい。このことはこれらの点の砂層内の位置に注目すればうなづけることである。

まだ図は省略してあるが、その他の点についても種々の面白い傾向が認められ、例えば載荷板の端近くの各点では主応力および主応力差は小さくとも、小さな荷重強度に対してすでに限界に近い傾斜角を示し、この付近では塑性領域への移行がきわめて早いという従来のFröhlich系の考え方を裏付けている。

以上図4~8はmacroな立場方ともいいうべき図3の結果を全般的に支持しており、砂層内の応力分布や破壊に関して興味ある結果を示しているものと考える。

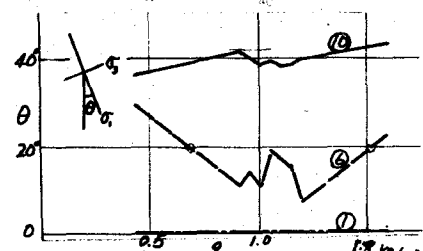


図4

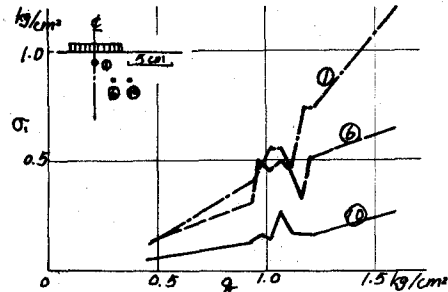


図5

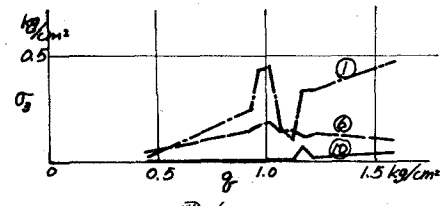


図6

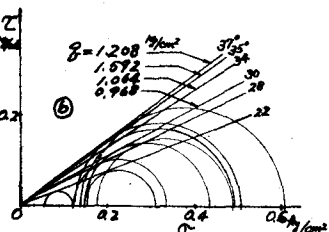


図7

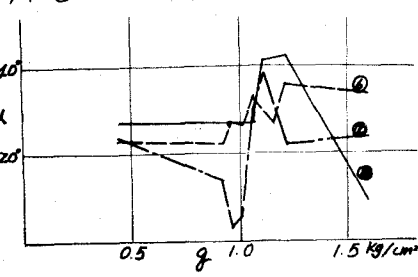


図8